

Çok Seviyeli Hızlı Çokkutup Yöntemi için Paralel Seyrek Yaklaşık Ters Önyüleştircisi[†]

Tahir Malas¹ ve Levent Gürel^{1,2}

¹Elektrik ve Elektronik Mühendisliği Bölümü

²Bilişimsel Elektromanyetik Araştırma Merkezi (BiLCEM)

Bilkent Üniversitesi, Ankara, 06800

E-posta: tmalas@ee.bilkent.edu.tr, lgurel@bilkent.edu.tr

Özet: Gerçek hayatı karşılaşılan büyük elektromanyetik saçılım ve ışınım problemlerinin paralel çözümlerinde çok seviyeli hızlı çokkutup yönteminin etkinliğini artırmak için paralel seyreklak ters (SYT) önyüleştircisi geliştirilmiştir. Bu sayede, basit önyüleştircilerle çözülemeyen açık yüzeylere sahip bitiyik ölçekli geometrilerin çözümü mümkün olmuştur. Ayrıca, kapalı yüzeylere sahip nesnelerde kullanılan birleşik alan integral denkleminde de SYT'nin çok yönlü aydınlatma problemlerinde önemli avantaj sağladığı gösterilmiştir.

1. Giriş

Büyük ölçekli elektromanyetik saçılım ve ışınım problemleri, çok seviyeli hızlı çokkutup yöntemi (ÇSHÇY) (MLFMA: multilevel fast multipole algorithm) [1] kullanılarak, kısa sürede ve makul bellek gereksimleriyle çözülebilmektedir. Bu yöntemin paralelleştirilmesi ile beraber, ulaşılabilen bilinmeyecek sayıları daha da artmıştır. Ancak, özellikle açık geometrilerin çözümünde kullanılması kaçılmamız olmak üzere elektrik alan integral denklemi (EAİD) için iterasyon sayıları çok yüksek olabilmekte, dolayısıyla çözüm zamanı çok uzamakta ve hatta yakınsama elde edilememektedir. Bu yüzden paralelleştirilebilen, güçlü önyüleştircilere ihtiyaç bulunmaktadır.

ÇSHÇY ile hafızada yalnızca seyreklak alan matrisi \bar{Z}^{VA} tutulmaktadır. İterasyon sayılarını düşürebilmek için bu matrisin içeriği tüm bilgiyi verimli bir şekilde kullanmak gerekmektedir. Yaygın olarak kullanılan eksik LU (ELU) (ILU: incomplete LU) önyüleştircisi, yakın alan matrisinin çarpanlarına yaklaşık olarak aynışırıyla elde edilmektedir. ELU'nun uygulanması, yaklaşık LU çarpanlarının geri ve ileri çözümleriyle yapılmaktadır. Ancak bu önyüleştircisinin verimli bir şekilde paralelleştirilmesi, LU çarpanlarının çözümündeki geri ve ileri çözümlemelerden dolayı mümkün olmamaktadır. Bu yüzden, yakın alan matrisinin tersine doğrudan yaklaşan seyreklak ters (SYT) (SAI: sparse approximate inverse) önyüleştircisi kullanılmalıdır [2].

2. Seyrek Yaklaşık Ters Önyüleştircileri

Seyrek matrislerde yaygın olarak kullanılan ELU'dan farklı olarak, SYT önyüleştircileri sistem matrisinin tersine doğrudan yaklaşmaktadır. ÇSHÇY bağlamında ise bu yaklaşım $\bar{S} \approx (\bar{Z}^{VA})^{-1}$ şeklinde olmaktadır. Bizim gerçekleştirdiğimizde, yakın alan matrisi ve SYT,

$$\bar{Z}^{VA} = \begin{bmatrix} \bar{Z}_1^{VA} \\ \vdots \\ \bar{Z}_k^{VA} \\ \vdots \\ \bar{Z}_K^{VA} \end{bmatrix}, \quad \bar{S} = \begin{bmatrix} \bar{S}_1 \\ \vdots \\ \bar{S}_k \\ \vdots \\ \bar{S}_K \end{bmatrix} \quad (1)$$

şeklinde K satır bloğuna bölülmüş ve her bir işlemciye bir blok gelecek şekilde dağıtılmıştır. SYT'nin uygulaması seyreklak matris-vektör çarpımı $y = \bar{S} \cdot x$ şeklinde olmaktadır. Uygulama işleminin paralelleştirilmesi verimli bir şekilde yapılmaktadır. Ancak, SYT'nin paralel oluşturulması esnasında her bir

[†]Bu çalışma, TÜBİTAK (105E172), Türkiye Bilimler Akademisi (LG/TÜBA-GEBİP/2002-1-12), ASELSAN ve SSM tarafından desteklenmektedir.

matris satır için QR ayırmayı ve işlemciler arası haberleşme gereklilikte ve bu yüzden önyüleştircinin oluşturulması çok yüksek zaman alabilmektedir. Bu zamanı en aza indirmek için uygun algoritma ve veri yapıları kullanılmalıdır.

Yakın alan matrisine yaklaşım $\|\bar{I} - \bar{S} \cdot \bar{Z}^{YA}\|_F^2$ 'nın enküçültmesi şeklinde yapılmaktadır. Bu enküçültmede \bar{S} üzerinde bir sınırlama getirilmezse \bar{Z}^{YA} 'nın tam tersi olan yoğun bir matris elde edilir. Bizim gerçekleştirmemizde ise, \bar{S} ile \bar{Z}^{YA} 'nın örtütüleri aynı tutularak SYT'nin seyrek olması sağlanmıştır. Frobenius normun özelliğinden dolayı bu yaklaşım birim matrisin ve \bar{S} 'nin satırları cinsinden

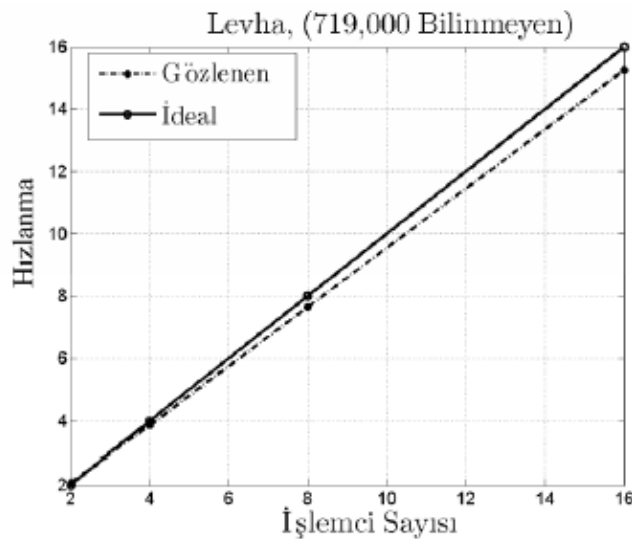
$$\|\bar{I} - \bar{S} \cdot \bar{Z}^{YA}\|_F^2 = \sum_{i=1}^n \|\mathbf{e}_i - \mathbf{s}_i \cdot \bar{Z}^{YA}\|_2^2 \quad (2)$$

şeklinde ifade edilebilmekte ve dolayısıyla en enküçültme işlemi her bir satır için bağımsız yapılabilmektedir. Ancak, bu enküçültme işleminden önce, matrisler satır blokları şeklinde bölündüğü için her bir işlemcinin kendisinde olmayan ama SYT'nin yapısında ihtiyaç duyacağı satırları diğer işlemcilerden alması gerekmektedir. Bu haberleşme için kullanılan algoritmaya ait sözde-kod Şekil 1'de verilmiştir. Satırlara ait sütun indeksi ve sıfırdan farklı elemanların değiş tokusu da benzer şekilde yapılmıştır.

```
her Zij ∈ Zk için
    eğer j işaretlenmemiştir
        p=İşlemciBul(j)
        j'yi gelensatırListesi[p]'ye ekle
        j'yi işaretle
gelensatırListe'lerini yolla, gidensatırListe'lerini al (herkesten-herkese iletişim)
```

Şekil 1. SYT'nin oluşturulmasında kullanılan sözde-kod.

SYT oluşturulurken yakın alan matrisi ve önyüleştirci seyrek satır formatında tutularak haberleşmelerin yer-ici (in-place) olması sağlanmıştır. Önyüleştircinin oluşturulmasında ayrıca, ÇSHÇY'nin blok yapısı kullanılarak gerekli QR çarpanlarına ayıma sayısı ciddi oranda düşürmüştür. Sonuç olarak, SYT'nin oluşturma aşaması verimli bir şekilde paralelleştirilmiştir.



Şekil 2. Levha geometrisi için parallel hızlanma grafiği.

3. Sayısal Sonuçlar

Bu bölümde önce SYT'nin oluşum aşamasının paralel performansı gösterilecektir. Daha sonra, EAİD ve BAİD için önyükleştirme performansı sunulacaktır. Şekil 2'de SYT'nin oluşum aşamasının iletişim zamanı ve hızlanması 719.000 bilinmeyene sahip bir levhaya ait EAİD matrisi için verilmiştir. Paralelleştirme işleminin verimli bir şekilde yapıldığı görülmektedir.

SYT'nin EAİD ve BAİD için önyükleştirme performansını test etmek amacıyla Tablo 1 ve Tablo 2'de gösterilen GMRES'le elde edilen çözümler gösterilmiştir. Tablo 1'deki açık geometriler önyükleşticisiz veya diyagonal gibi basit bir önyükleşici ile çözülememiş; ancak SYT kullanılarak makul sürelerde çözümü ulaşılmıştır. BAİD içinse paralelleştirilebilin blok-diyagonal önyükleşticisi de kiyaslama amacıyla sunulmuştur. Tablo 2'deki Flamme geometrisi radara görünmez (stealth) bir füzeeye aittir [3]. Elektromanyetik uygulamalarda değişik yönlerden gelen düzlem dalgaları için çözümüne ihtiyaç duyulmaktadır, bu da aynı sistemin çok sayıda sağ taraf vektörü ile çözümünü gereklili kılmaktadır. SYT ile toplam çözüm zamanı blok-diyagonale kıyasla düşmese de, çözüm zamanı çok daha kısa olduğu için çok yönden aydınlatma gereksinimlerinde önemli bir avantaj getireceği açıktır.

EAİD		SYT				
Geometri	Bilinmeyen sayısı	Iter	Zaman			Toplam
			Yapım	Çözüm	Toplam	
Levhə	719,000	193	214	3,673	3,887	
Açık Prizma	409,514	302	331	4,016	4,346	
Yarım Küre	116,596	160	78	456	534	
Açık Küp	171,655	398	287	691	977	
Yansıtıcı Anten	368,439	130	972	843	1,815	

Tablo 1. EAİD için saniye cinsinden çözüm zamanları.

BAİD		Blok Diyagonal				SYT				
Geometri	Bilinmeyen Sayısı	Iter	Yapım	Çözüm	Toplam	Iter	Yapım	Çözüm	Toplam	nSTV
Küre	829,881	40	0.18	882	882	37	532	838	1,370	12
İnce Kutu	147,180	104	0.14	352	352	63	304	218	522	3
Kanat	117,945	53	0.05	98	98	38	192	73	264	8
Helikopter	739,404	107	0.30	3,698	3,699	77	1,840	2,739	4,578	2
Flamme	895,407	185	0.68	8,096	8,097	151	3,239	6,588	9,827	3

Tablo 2. BAİD için saniye cinsinden çözüm zamanları. "nSTV" SYT için yapım zamanını blok-diyagonale kıyasla kompanse eden sağ taraf vektörü sayısını vermektedir.

Kaynaklar

- [1] Lu C.-C. ve Chew W.C., "Multilevel fast multipole algorithm for electromagnetic scattering by large complex objects," *IEEE Trans. Antennas Propagat.*, cilt 45, no. 10, s. 1488-1493, Ekim 1997.
- [2] Saad Y., *Iterative Methods for Sparse Linear Systems*. SIAM, Philadelphia, ABD, 2003.
- [3] Gürel L., Bağcı H., Castelli J.-C., Chéraly A. ve Tardivel F. "Validation through comparison: Measurement and calculation of the bistatic radar cross section of a stealth target," *Radio Science*, cilt 38, no. 3, s. 1046-1058, 2003.